

MAPA GEOLOGICO DE ESPAÑA

Escala 1:50.000

PROYECTO MAGNA TIETAR

INFORME COMPLEMENTARIO

ALBUM FOTOGRAFICO

HOJA N° 625 (14-25)

LAGARTERA

E.N. ADARO

Marzo, 1992

LAGARTERA



EC - 9250: Vista panorámica de la esquina suroccidental de la hoja. En ella se observa como el Terciario ocupa las áreas más elevadas de este falso llano recubriendo al granito a manera de una fina pelicula subhorizontal, aflorando este último en las zonas más deprimidas.



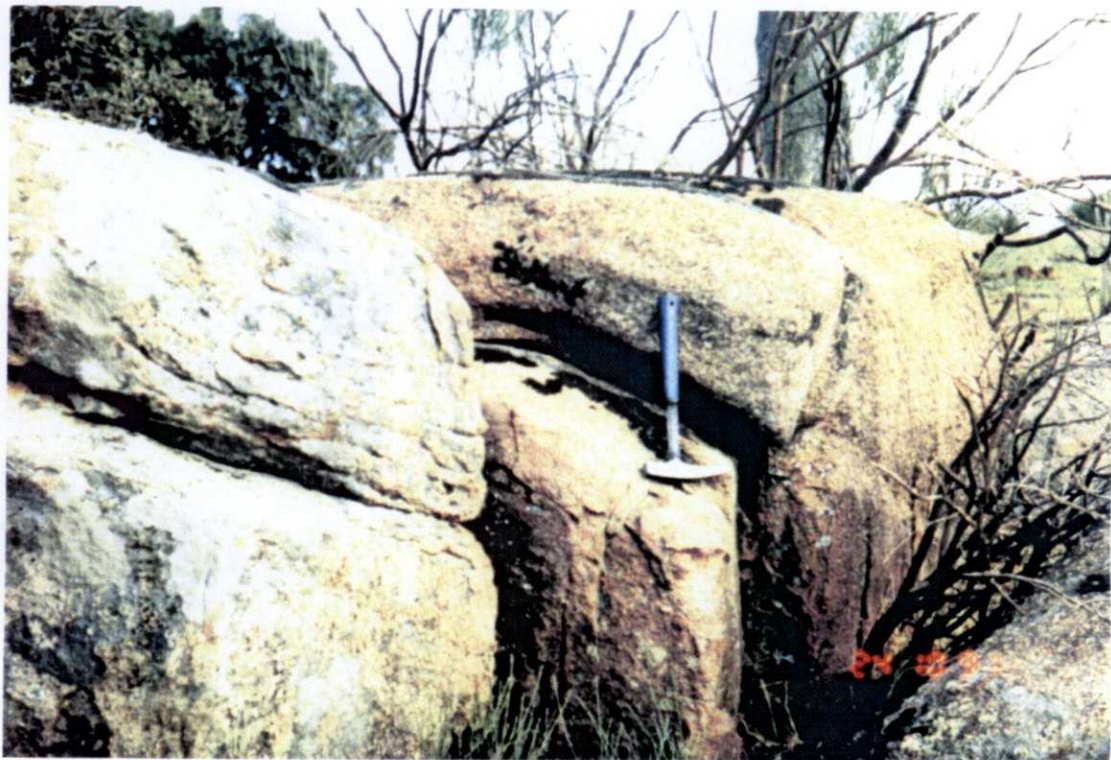
EC – 9251: Granito de grano fino y/o medio fino biotítico–moscovítico en el paraje de Dehesa de la Mata.



EC – 9252: Dique de leucogranito aplítico $N15^{\circ}E/20^{\circ}E$.



EC – 9253: Detalle de la anterior. En ella se observa un bandedo composicional paralelo a los contactos del dique.



EC – 9254: Afloramiento de granitos de grano grueso y/o grueso-medio biotítico-moscovíticos en fácies porfídica. Estas fácies se observan en las inmediaciones al contacto entre las dos tipos de granitos dominantes en este macizo por lo que en ocasiones se observan bolos del granito de grano fino englobados en la masa de grano grueso. En este caso el bolo central sobre el que descansa el martillo es de grano fino, mientras que el resto del afloramiento es de grano grueso.

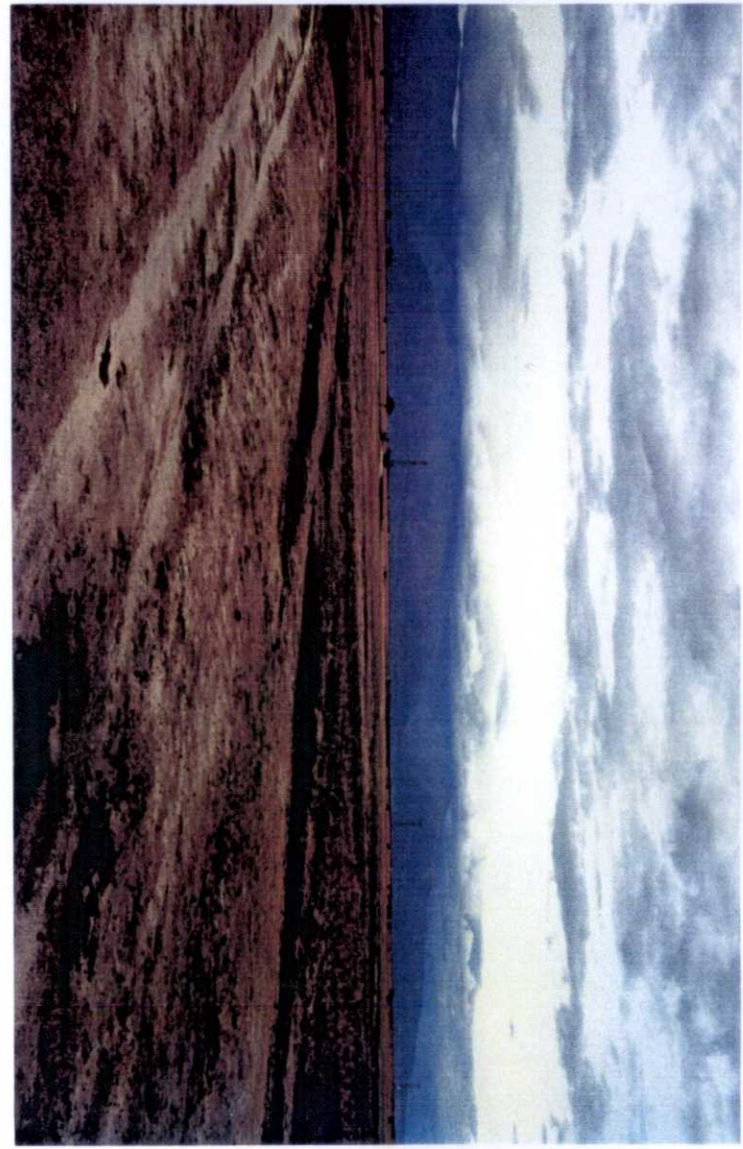
EC - 9255: Detalle de lo anteriormente mencionado a menor escala.





RG - 9132.- Cuerpos sedimentarios progradantes al Norte de
arcosas limos y arcillas. (14).

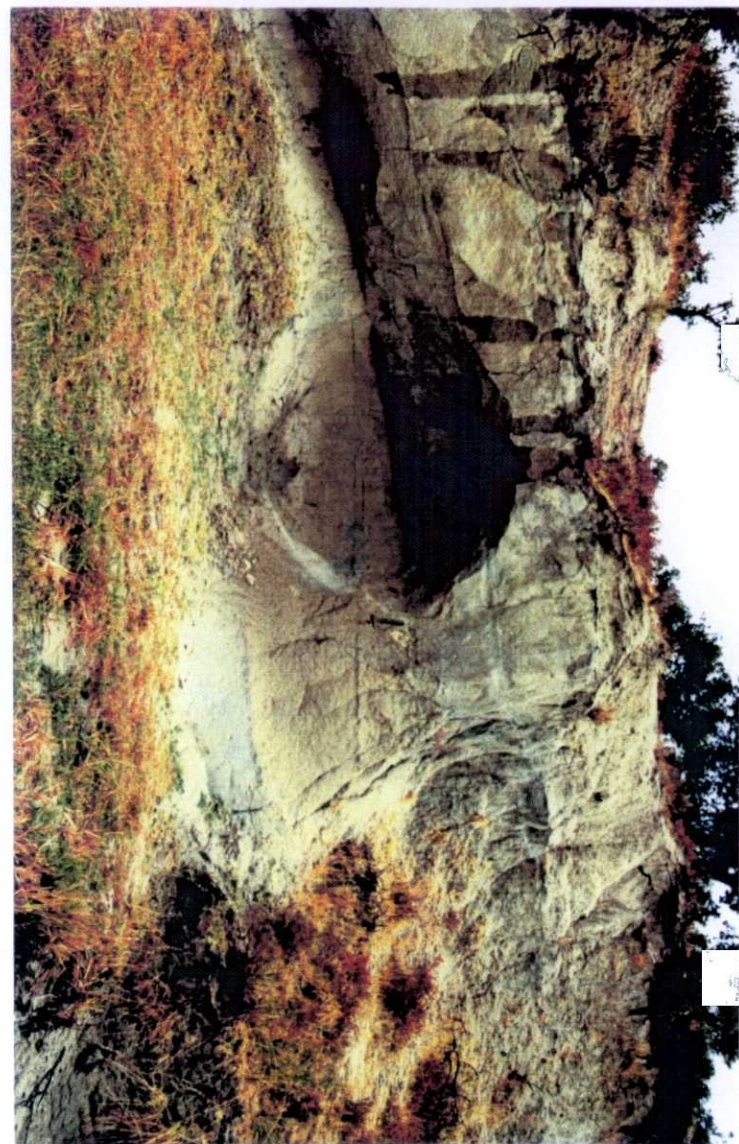
RG - 9131.- Panorámica de las arcosas, limos y arcillas (14).
Al fondo la S^a de Gredos.

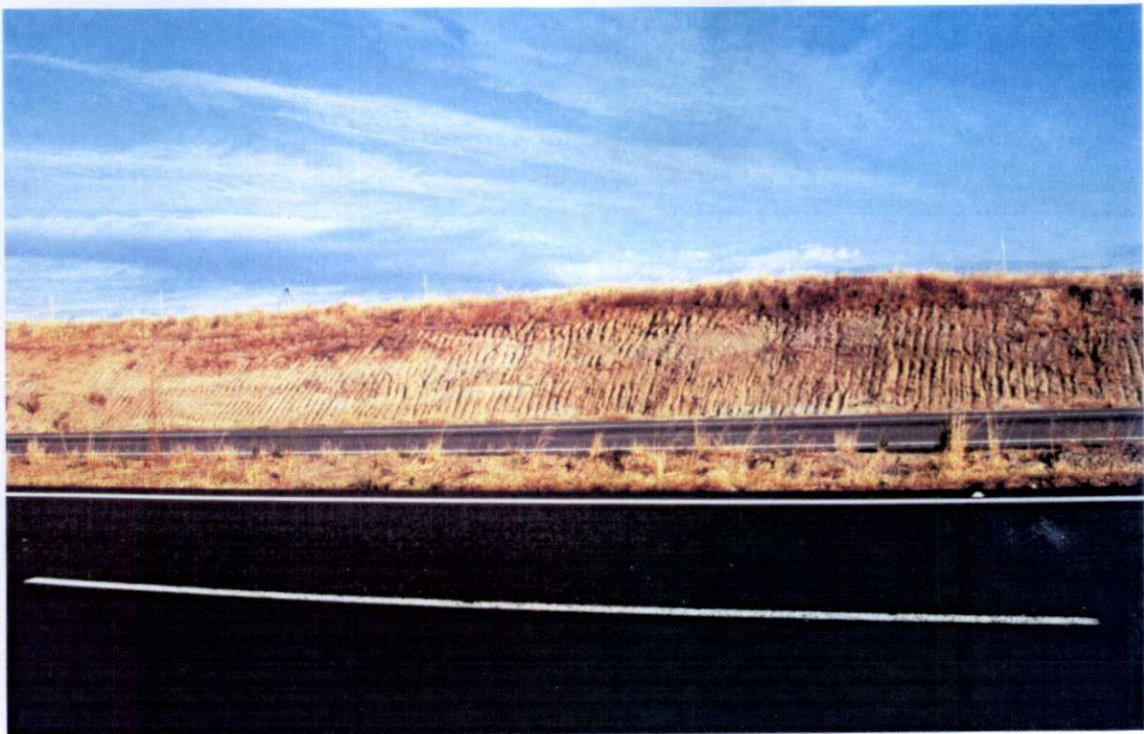




RG - 9134.- Detalle de la anterior.

RG - 9133.- Idem a la anterior. Son escasísimas las estructuras de ordenamiento interno, granoselecciones normales e inversas (propias de flujos en masa).





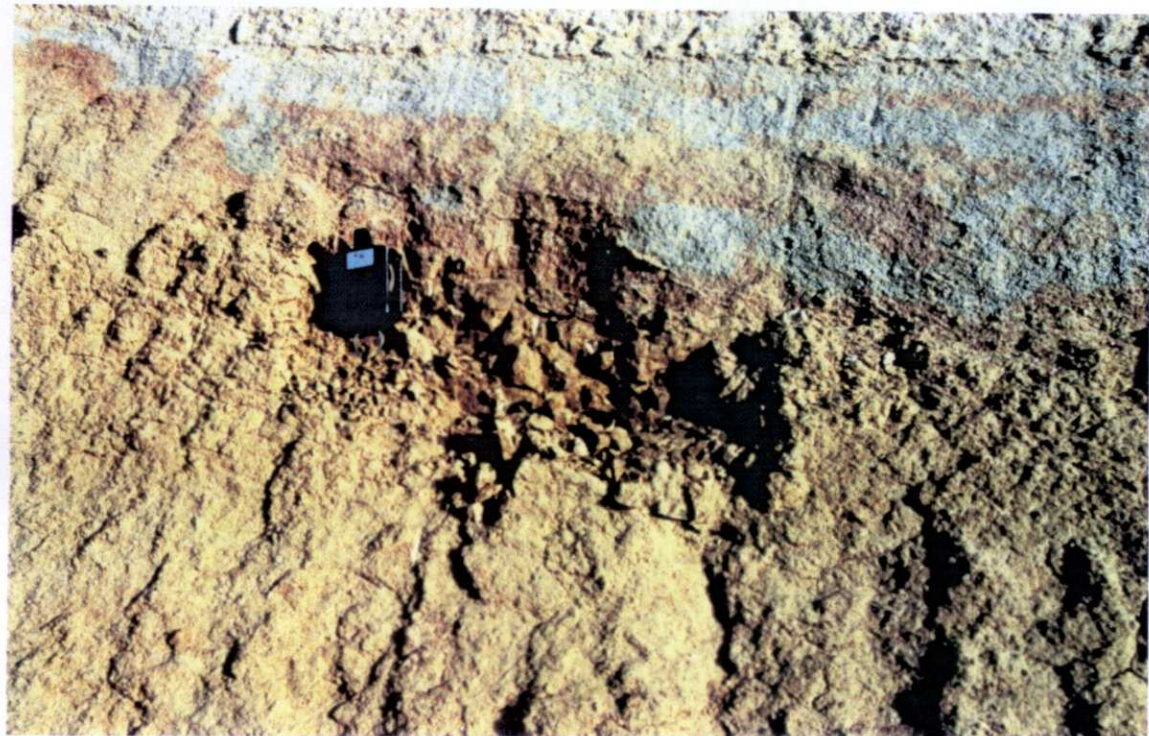
RG - 9135.- Secuencia de arcosas, limos y arcillas (14). Morfología de estratos lenticular e irregular.



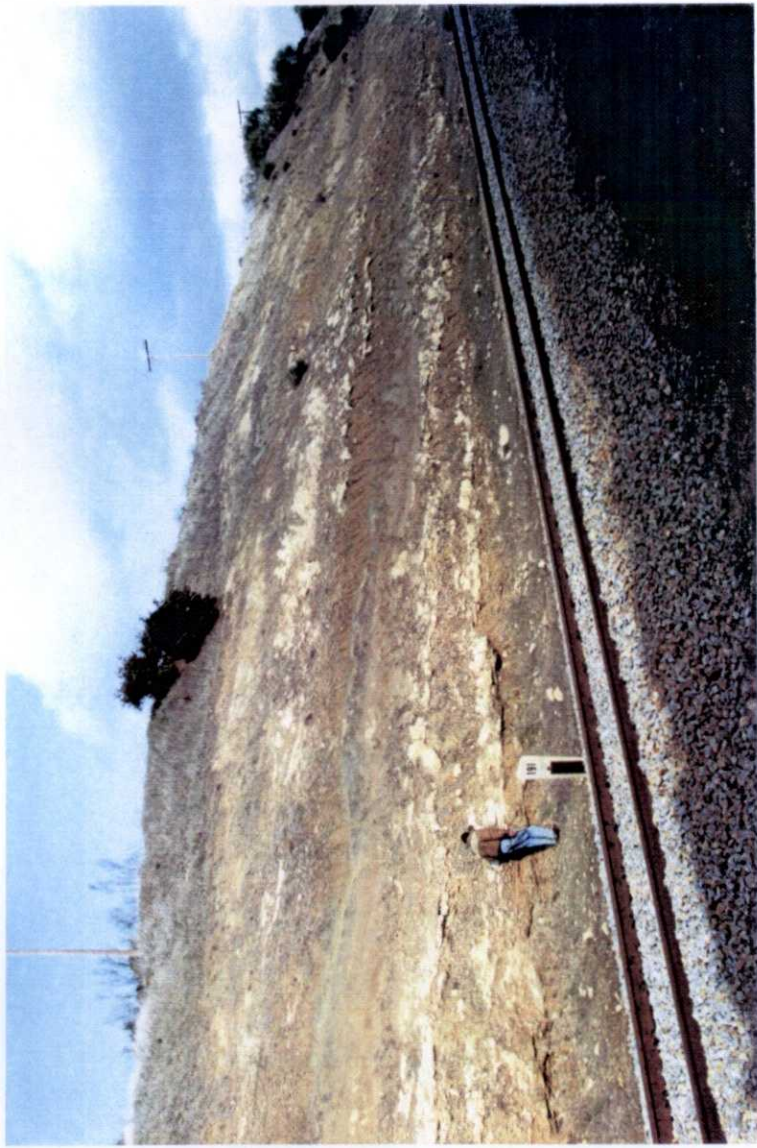
RG - 9136.- Detalle anterior.



RG - 9137.- Idem anteriores. Superficie basal de los estratos erosiva, donde se localizan las facies más groseras (arenas gruesas- - gravas finas).



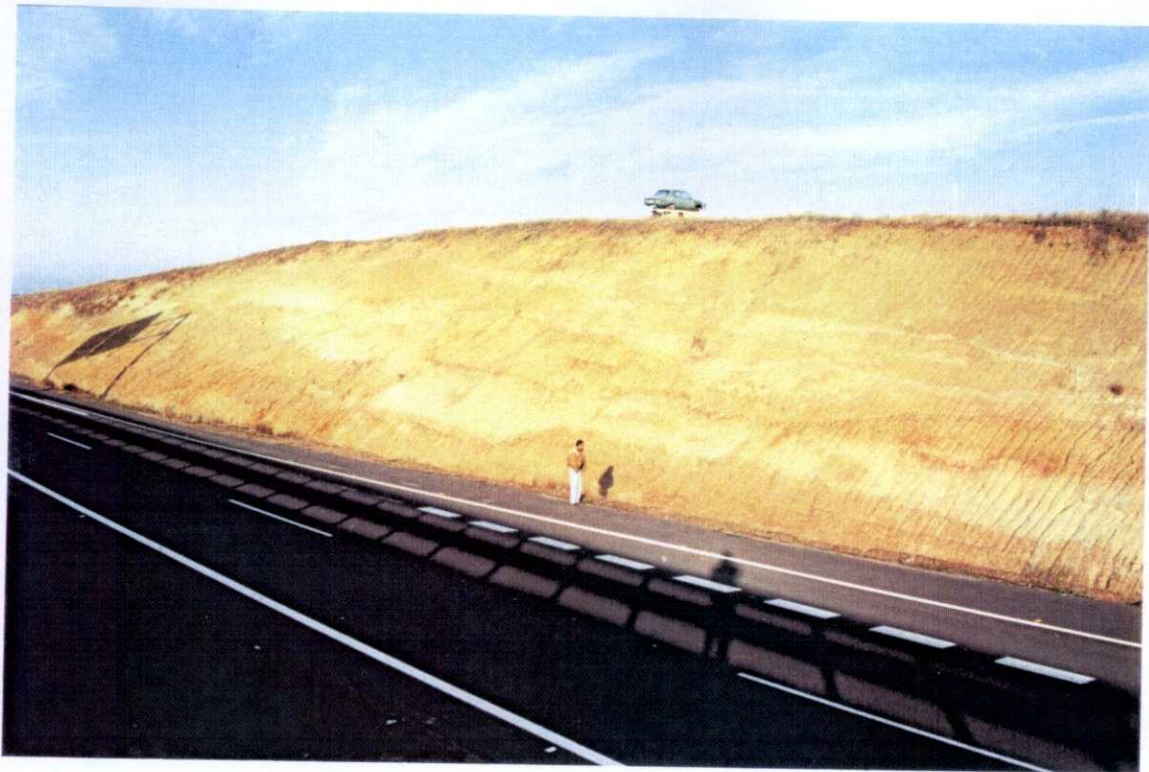
RG - 9138.- Facies de arcillas y arcosas (14).



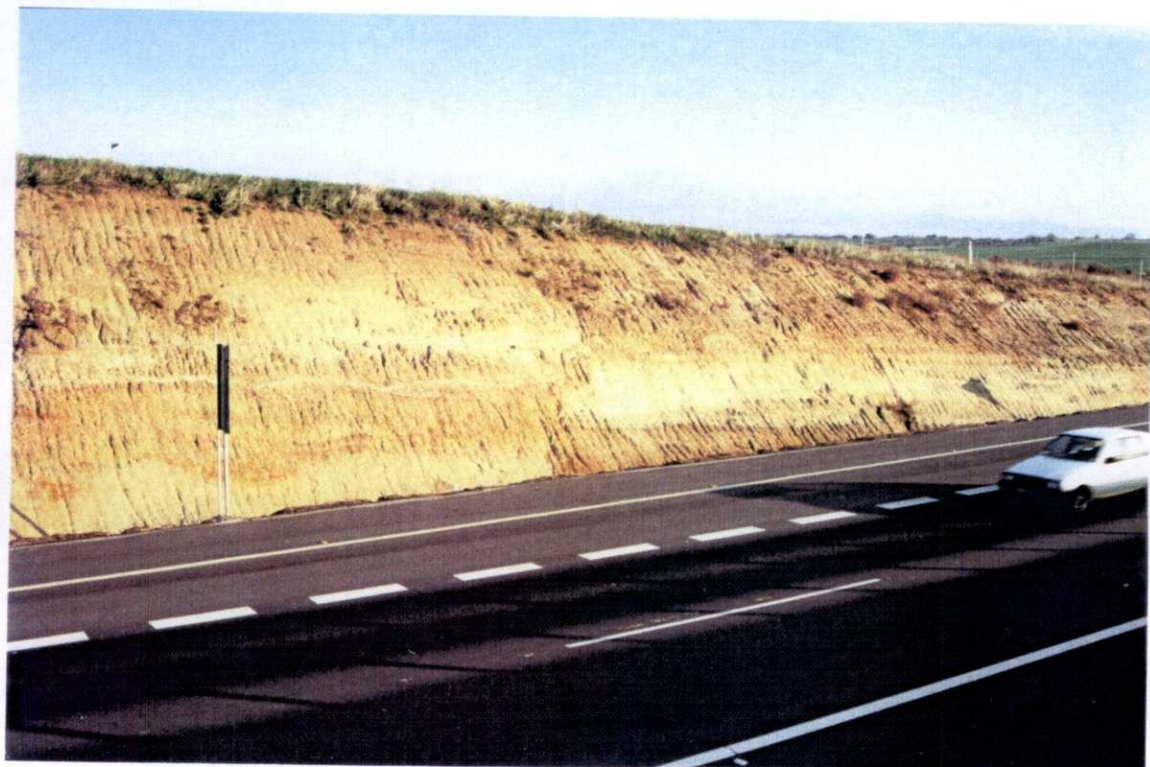
RG - 9139.- Arenas, limos y arcillas silíceo - carbonatadas (15).
Facies lacustres.



RG - 9140.- Detalle de la anterior.



RG - 9141.- Fracturación diferencial reciente (neotectónica), que afecta a las arcosas y gravas finas (13).



RG - 9142.- Idem anterior.



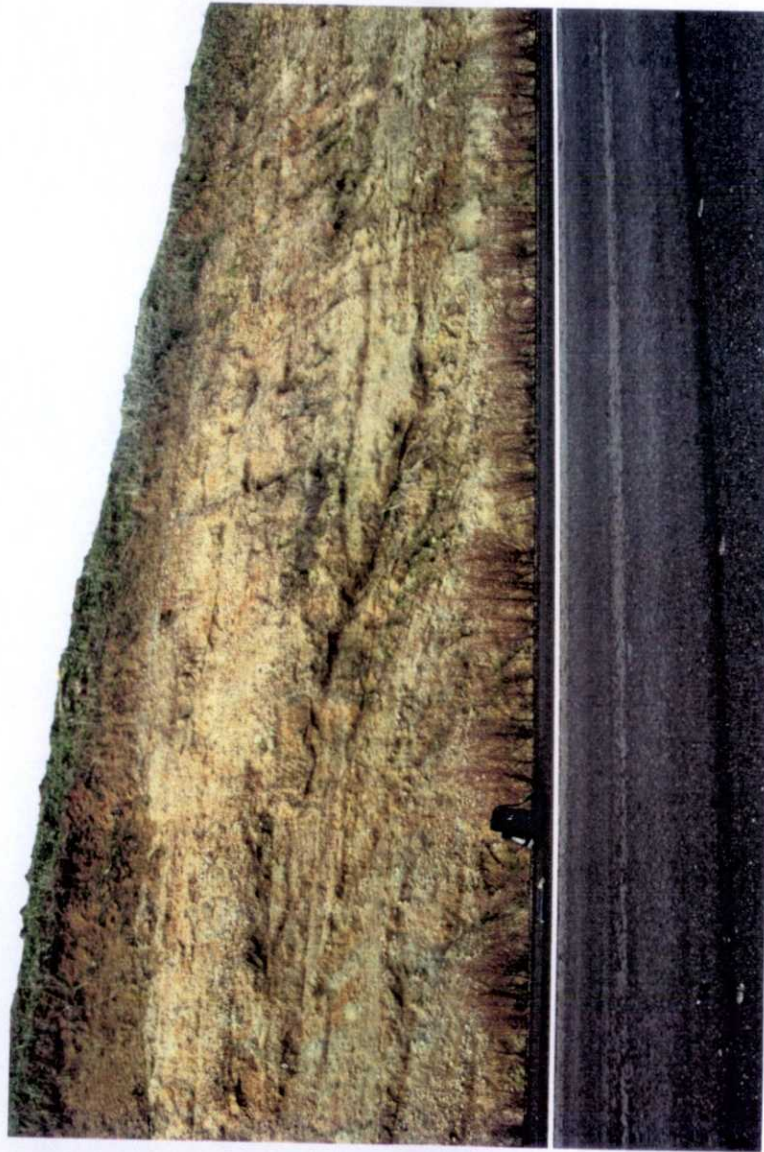
RG - 9143.- Parece haber, además de la neotectónica, una fracturación sinsedimentaria, según se deduce de algunos niveles que manifiestan un salto claro y otros no.



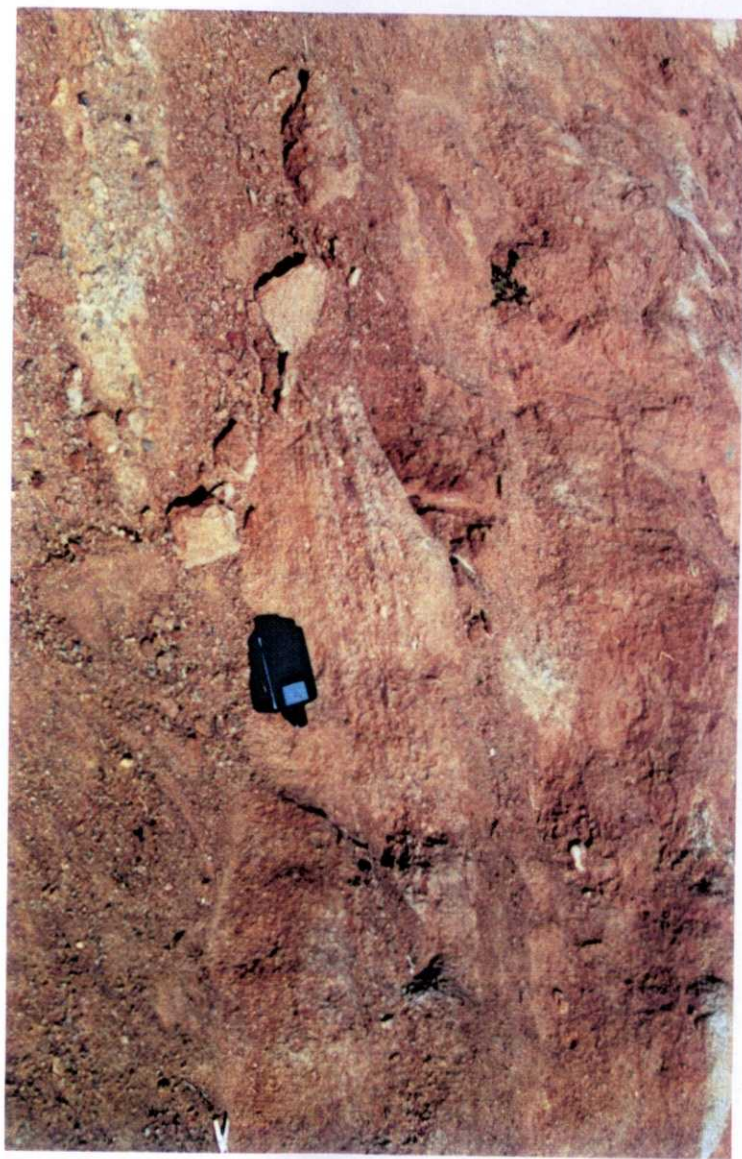
RG - 9144.- Canales de arenas, gravas finas y gruesas intercalados entre las arcosas, limos y arcillas (14).



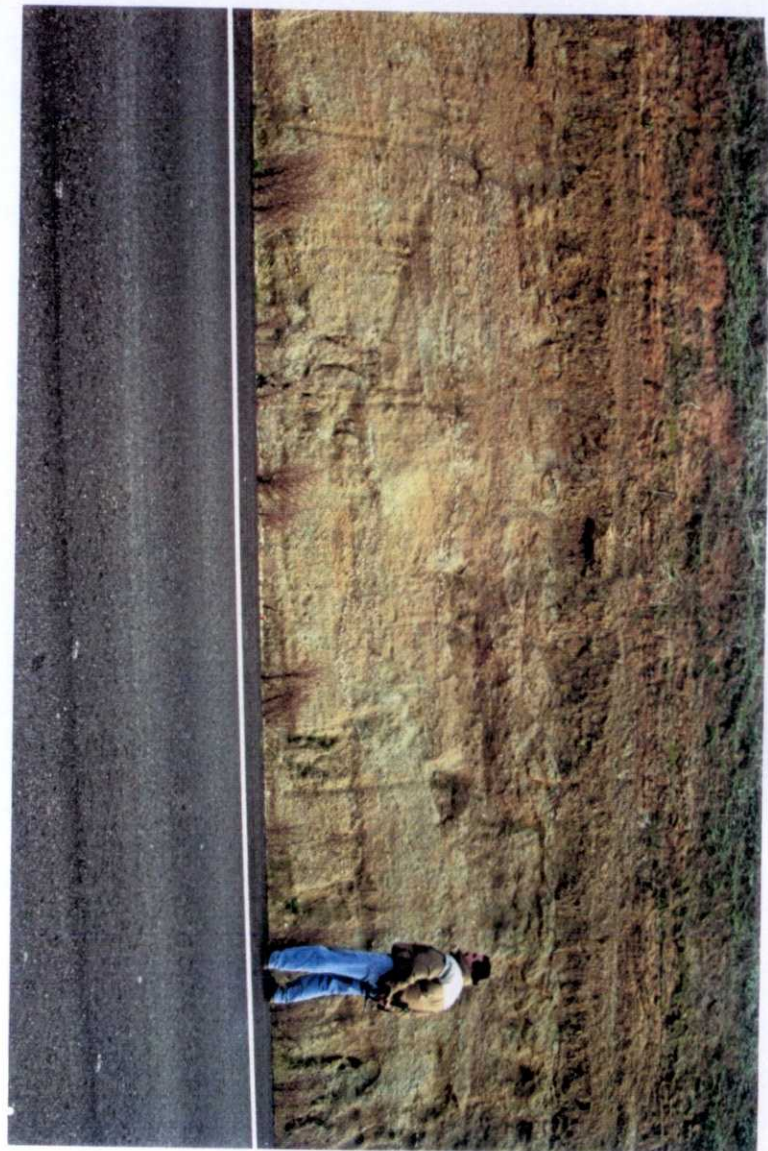
RG - 9145.- Arcosas y gravas finas y medianas (13). Estratificaciones cruzadas de gran escala, debidas a migración de canal.



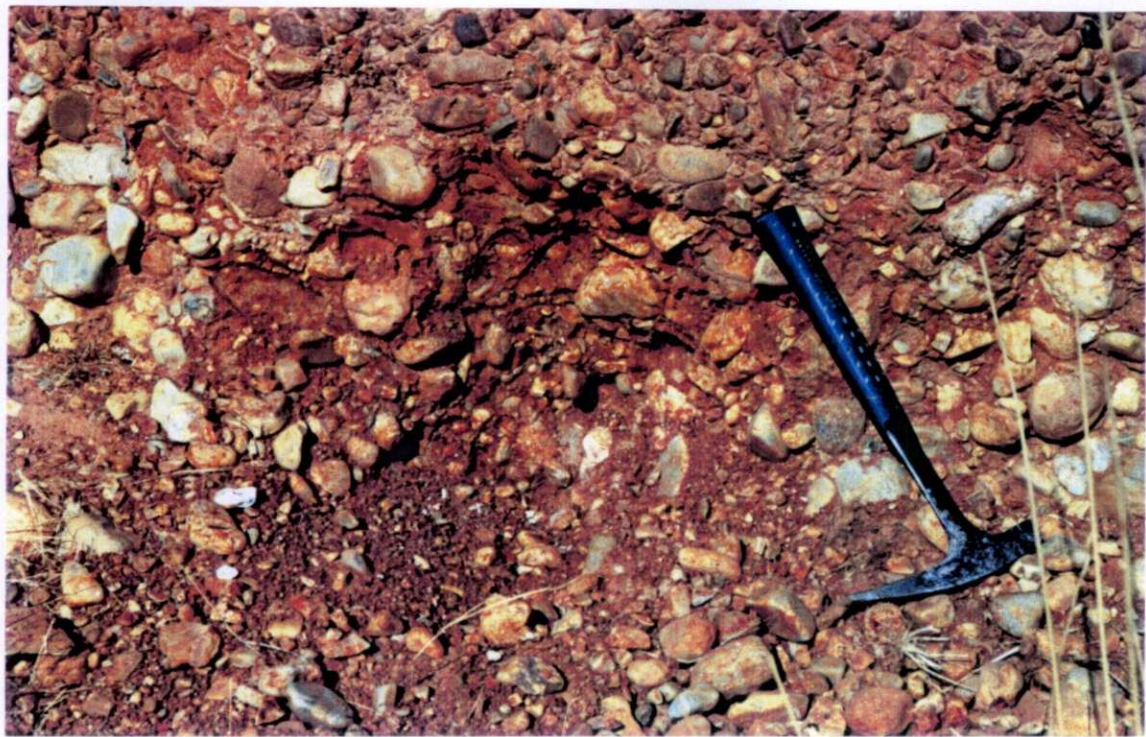
RG - 9146.- Igual anterior.



RG - 9147.- Arcosas y gravas medianas (13). Estratificación cruzadas en artesa (migración de canales o megarripples - dunas).



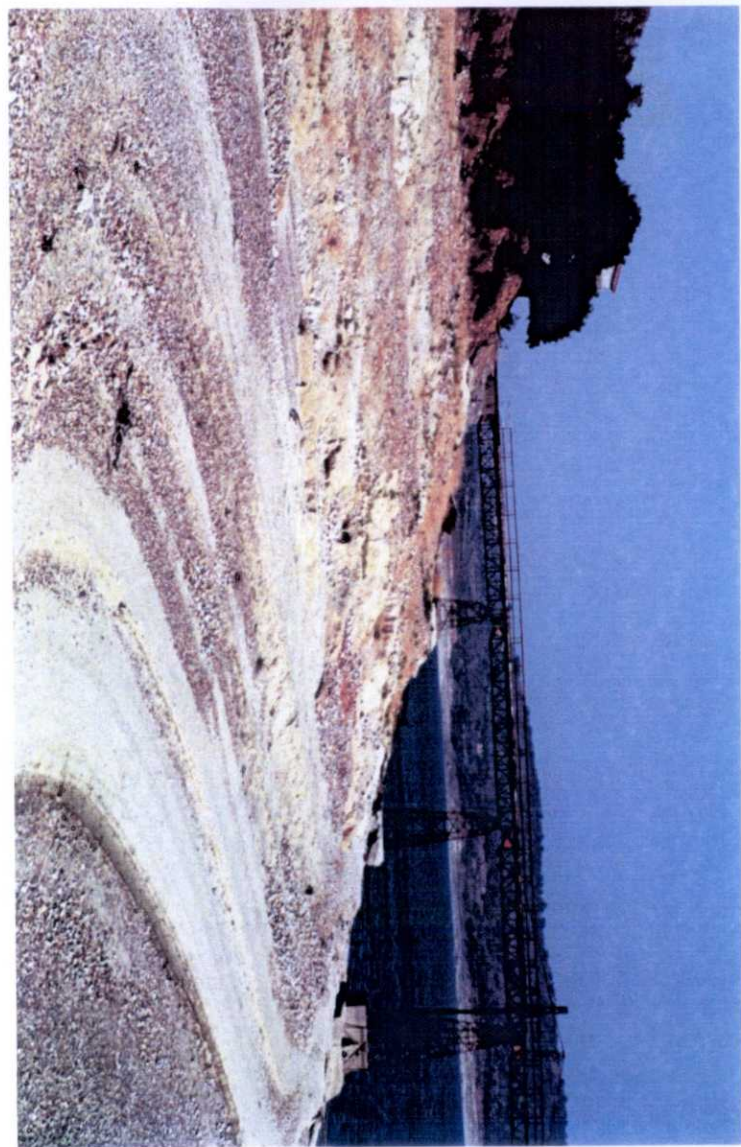
RG - 9148.- Arenas y gravas medianas - finas (13).



RG - 9149.- Gravas, arenas y limos rojos (17). Facies idénticas al Pliocuaternario, no se descarta que puedan ser éstas.

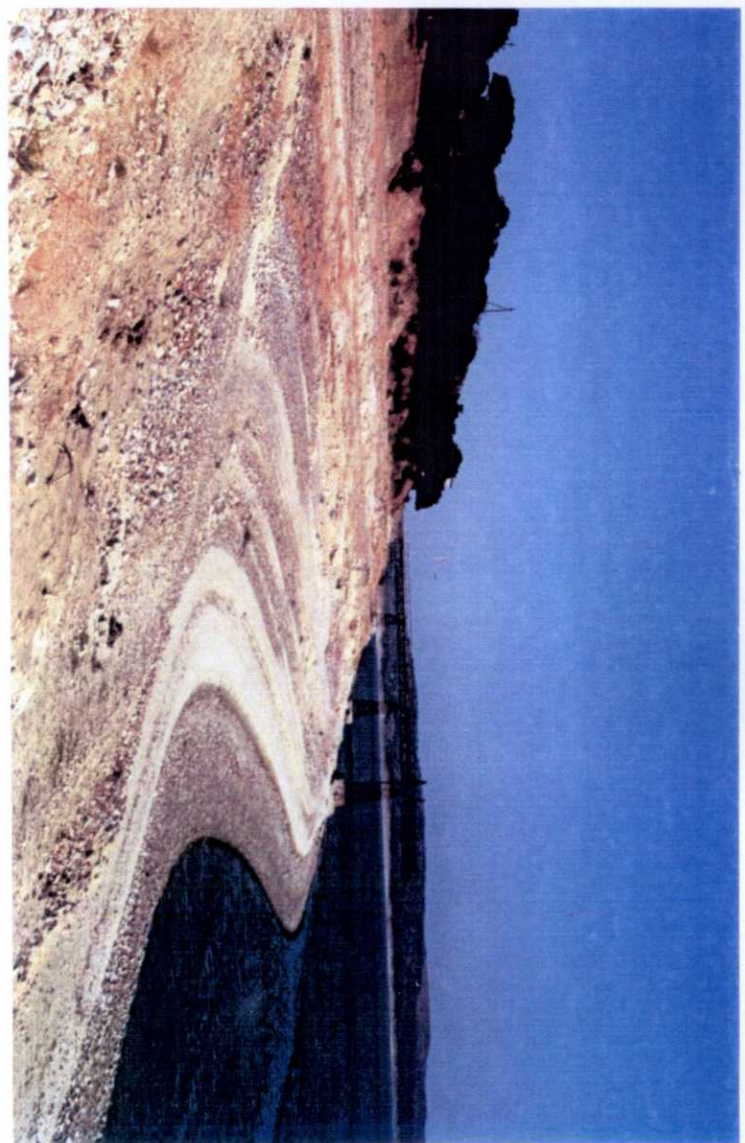


RG - 9150.- Fisuras llenas de carbonatos en arcosas y limos (14).

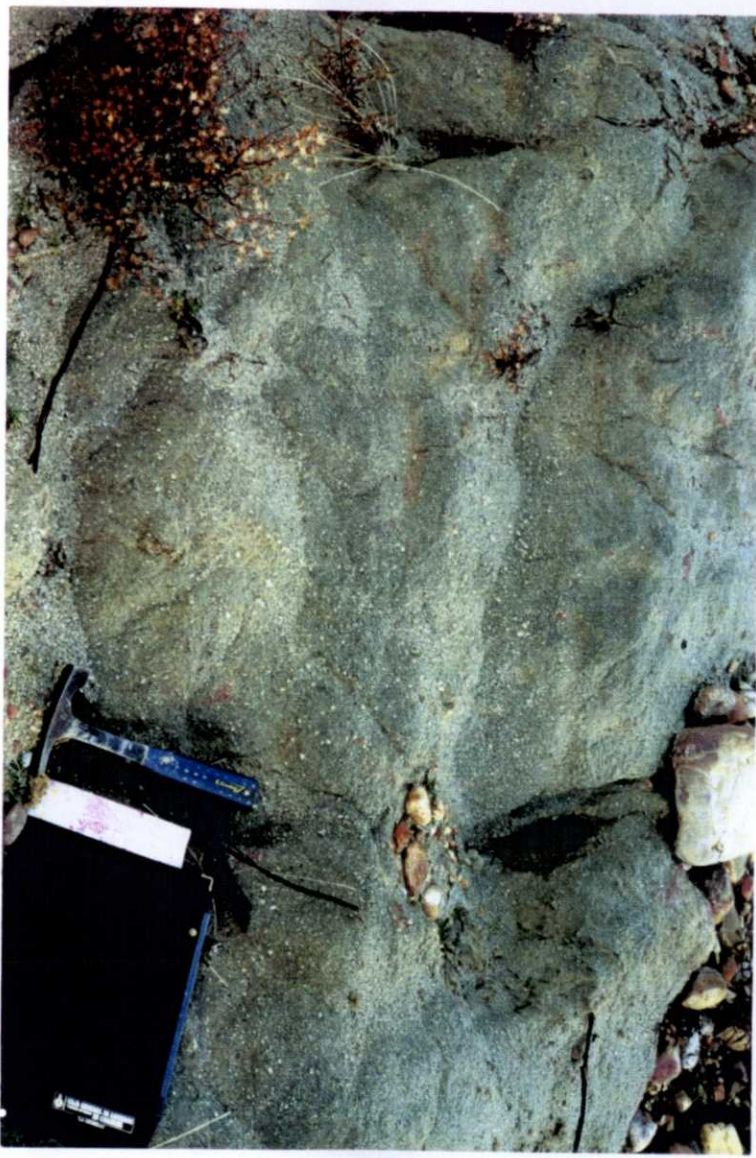


RG - 9152.- Detalle de la anterior.

RG - 9151.- Secuencia de arenas, limos y arcillas con carbonatos a techo (14).

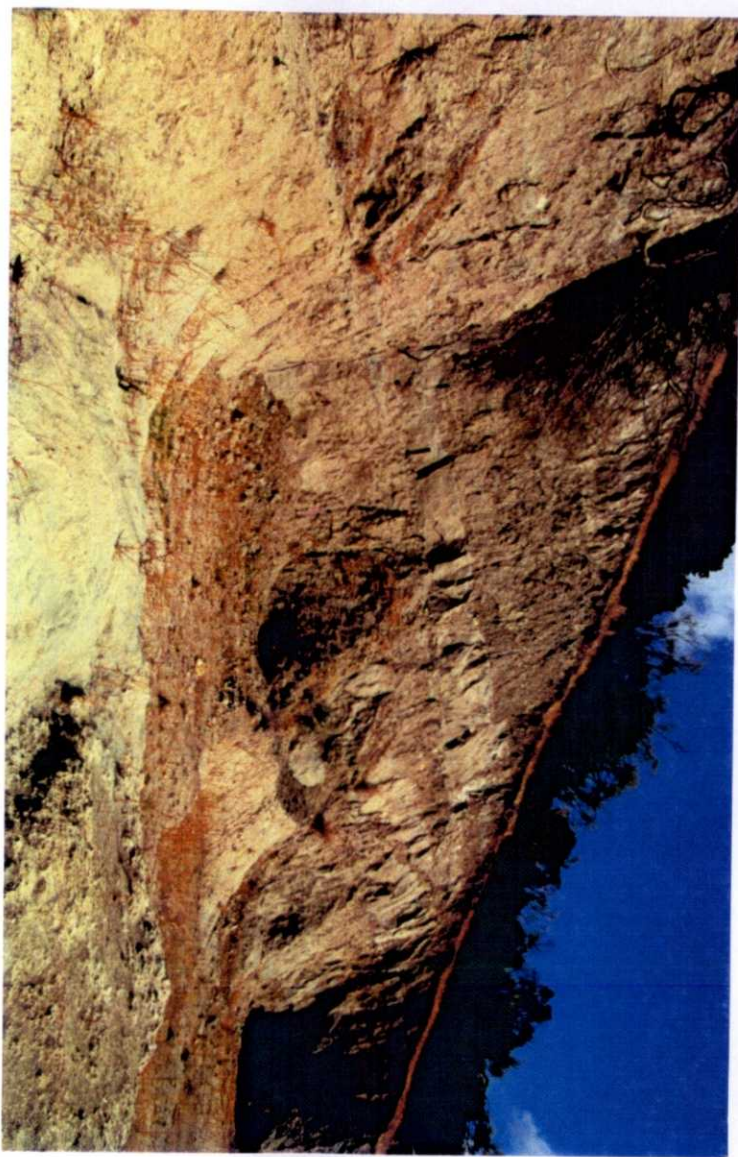


RG - 9154.- Arcosas y limos con tonalidades verdosas.



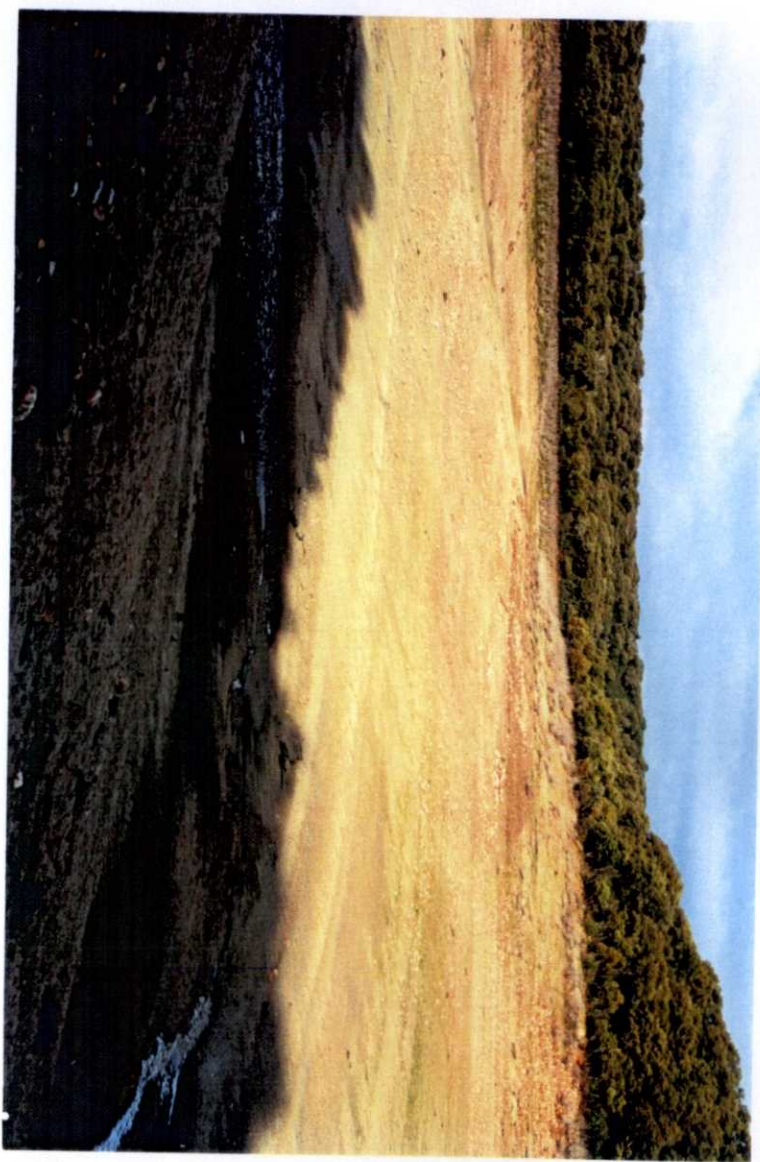
RG - 9153.- Detalle de los niveles carbonatados del techo de la secuencia, con nódulos de sílice intercalados.

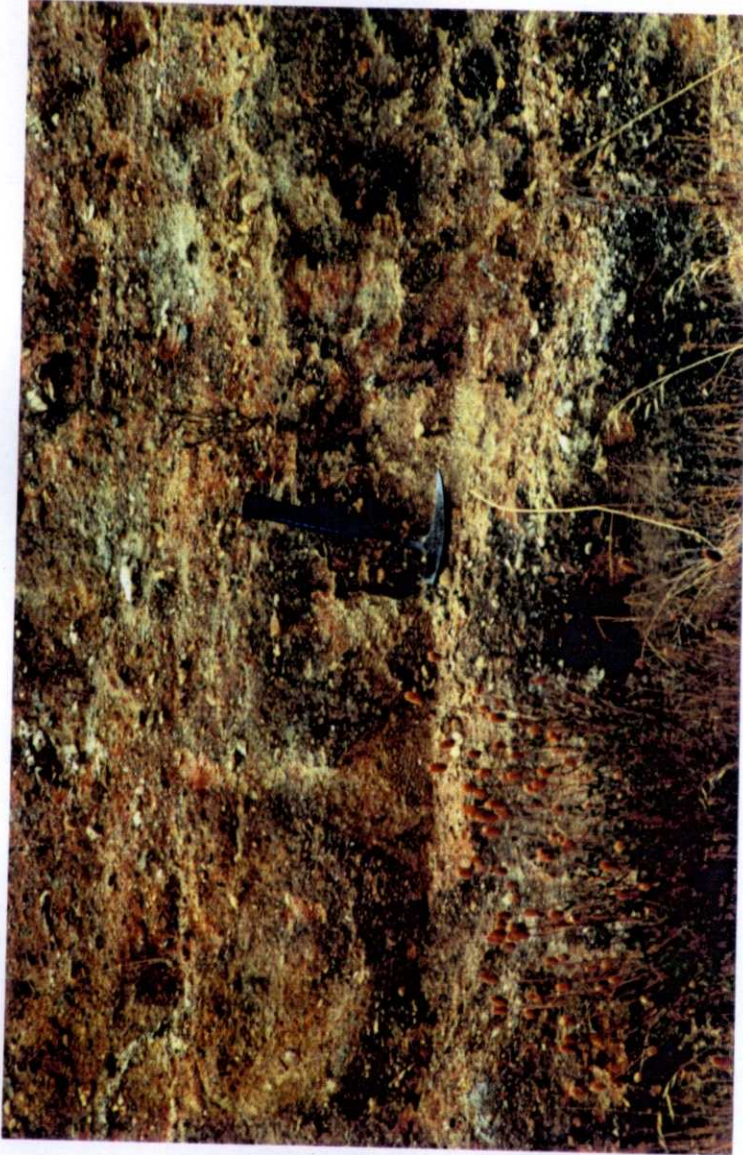




RG - 9156.- Idem secuencia anterior. Morfología subtabular de los estratos.

RG - 9155.- Secuencia de arcosas, limos y limos carbonatados (14).





RG = 9157.- Arcosas y gravas medianas (13). Clastos soportados por una matriz arenosa. Estructura masiva con ligera orientación planar de cantos.

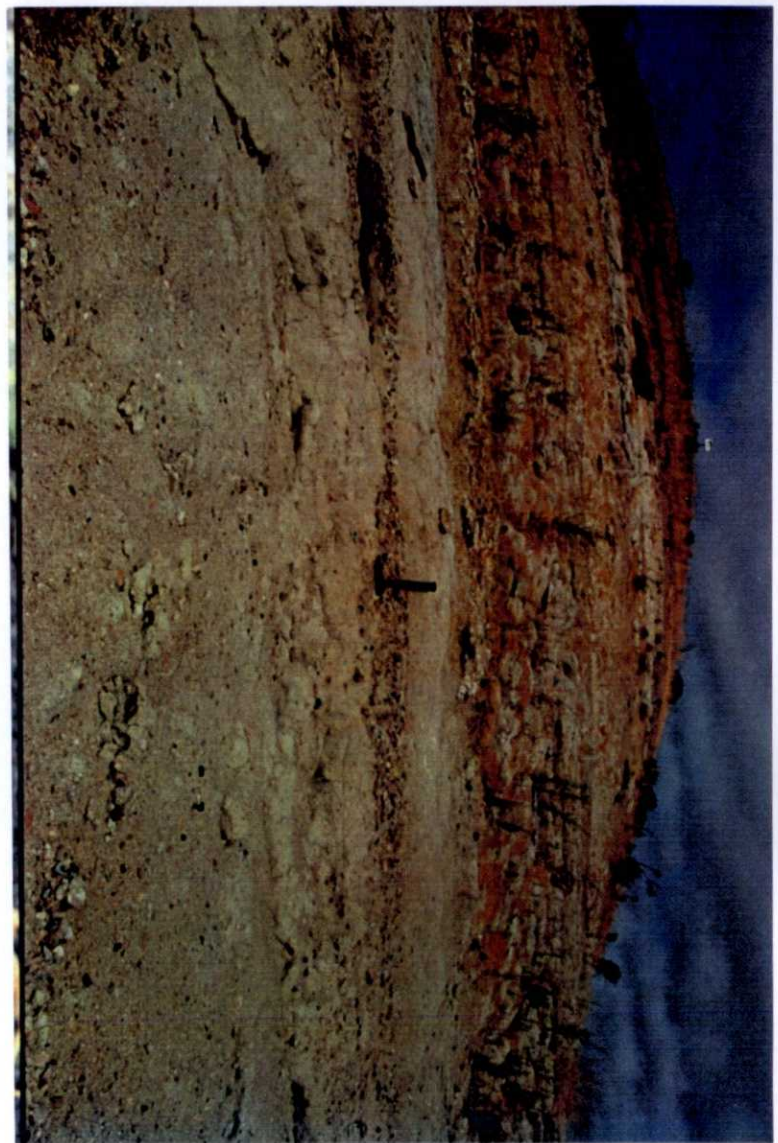


RG = 9158.- Secuencia grano - creciente (negativa), de gravas, - arcosas y limos con carbonatos (13).



RG - 9160.- Detalle de las anteriores. Ciclo sedimentario completo de estas facies; de muro a techo: gravas, arenas, limos y arcillas con carbonatos. Granoselección positiva -- (ciclo generado por una corriente de turbidez).

RG - 9159.- Secuencia idéntica a la anterior.





RG - 9161.- Gravas medianas y arcosas (13). Set cruzados en artesa.

RG - 9163.- Arcosas y gravas medianas (13). Cantos deformados y triturados por acción de la neotectónica. Detalle de la anterior.



RG - 9162.- Granitoide sobrepuerto sobre las arcosas y gravas (13), por acción de la neotectónica (Tectónica Alpina).





JL-9002-F

Afloramiento de cuarcitas en "facies Armoricana" situado en el cerro El Calvario, alrededores de la localidad de El Gordo.



JL-9003-F

Vista panorámica de los relieves ordovícicos, cuyo detalle se encuentra en la foto anterior.



JL-9004-F

Gravas canalizadas pertenecientes a la base del Mioceno, ubicadas en carretera que se dirige a Torrico.



JL-9005-F

Término superior de la facies canalizadas en el kilómetro 2 de la carretera a Torrico.



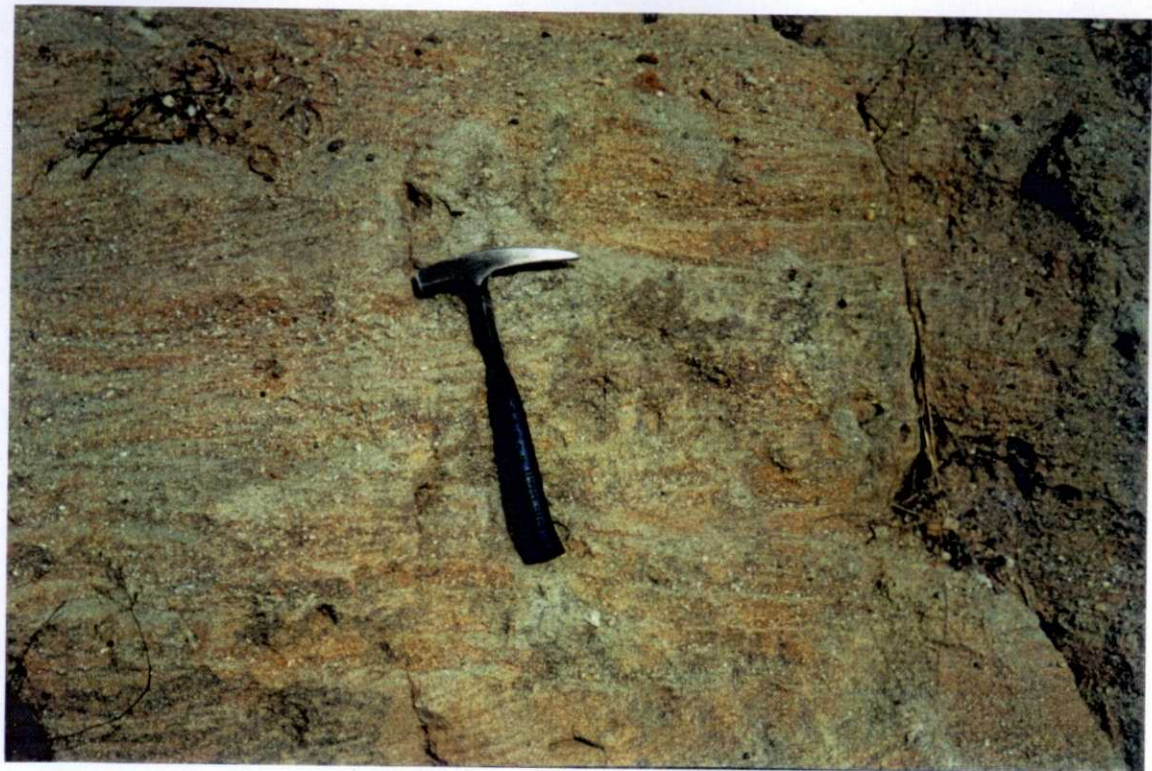
JL-9006-F

Secuencia de gravas y arenas arcósicas consideradas como "facies medias o distales" del Mioceno, en el kilómetro 6 de la carretera que conduce desde el Gordo a Berrocalejo.



JL-9007-F

Visión de detalle de los términos basales de las secuencias que componen los márgenes del Embalse de Valdecañas.



JL-9008-F

Estructuras sedimentarias (surcos) en el Mioceno del Embalse de Valdecañas.



JL-9009-F

Visión panorámica del Mioceno "en facies medias-distales" del Embalse de Valdecañas.



JL-9010-F

Aspecto detallado de las facies que componen la foto anterior.



JL-9011-F

Niveles calizo-margosos dispuestos en el techo de la secuencia que se distribuyen a lo largo del Mioceno del Embalse de Valdecañas.



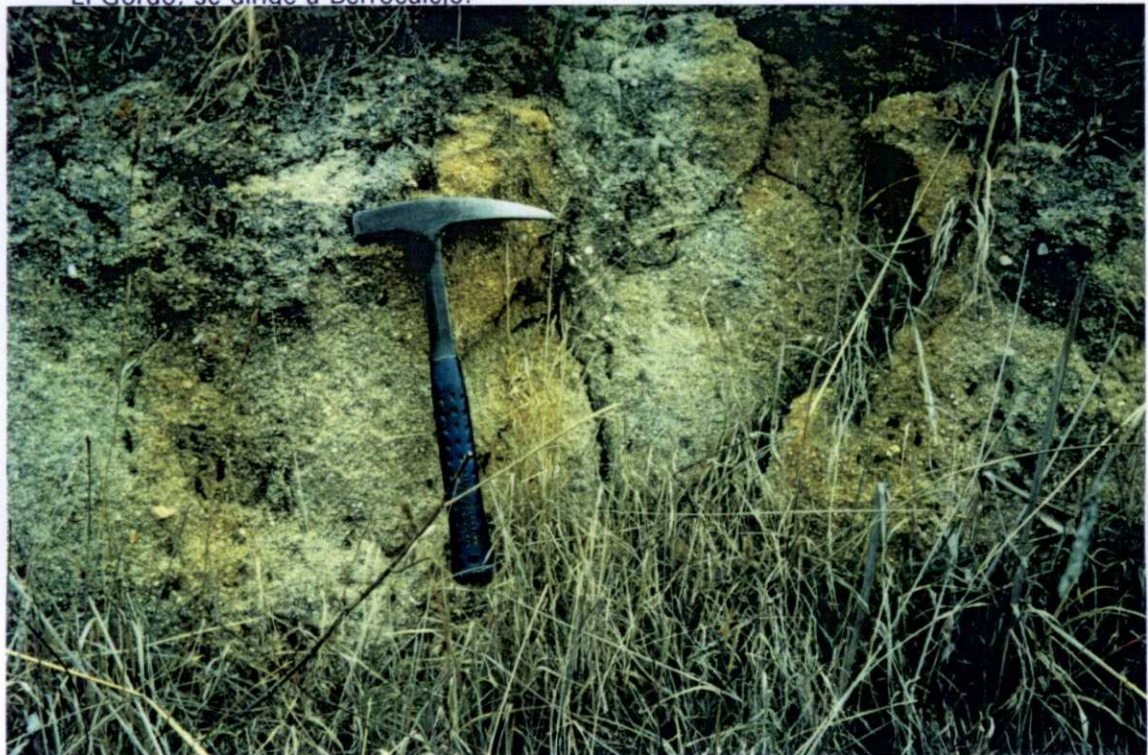
JL-9012-F

Interrupciones sedimentarias (hard-ground) colocadas en el techo de las secuencias formadas por gravas, arcosas, arenas y limos, y situadas en las márgenes del Embalse de Valdecañas.



JL-9013-F

Contacto por falla entre el Precámbrico y el Mioceno al Oeste de la carretera que desde El Gordo, se dirige a Berrocalejo.



JL-9014-F

Gravas y arcosas (facies distales del Mioceno), a unos 2 km al Sur de la bifurcación que desde la carretera nacional V conduce a la localidad de El Gordo.



JL-9015-F

Superficies erosivas en las secuencias que componen las "facies distales" del Mioceno al Norte de El Gordo.



JL-9016-F

Morfología que presentan las "facies distales" del Mioceno al Norte de El Gordo.



JL-9017-F

Cuerpos sedimentarios en las gravas, arenas arcósicas, arcillas y limos del Mioceno de la carretera de Caleruela a Valdeverdeja, km 9.



JL-9018-F

Aspecto general de las "facies distales" al Oeste de la Calzada de Oropesa.



JL-9019-F

Otro aspecto de las "facies distales" de los abanicos aluviales que procedentes de la Sierra de Gredos (al fondo), se ubican al Norte de la Calzada de Oropesa.



JL-9020-F

"Facies lacustres" de arenas, limos y arcillas silíceo-carbonatadas en la localidad de El Gordo.



JL-9021-F

Niveles silíceo-carbonatados que componen los términos superiores de las secuencias de las "facies lacustres" de la foto anterior.



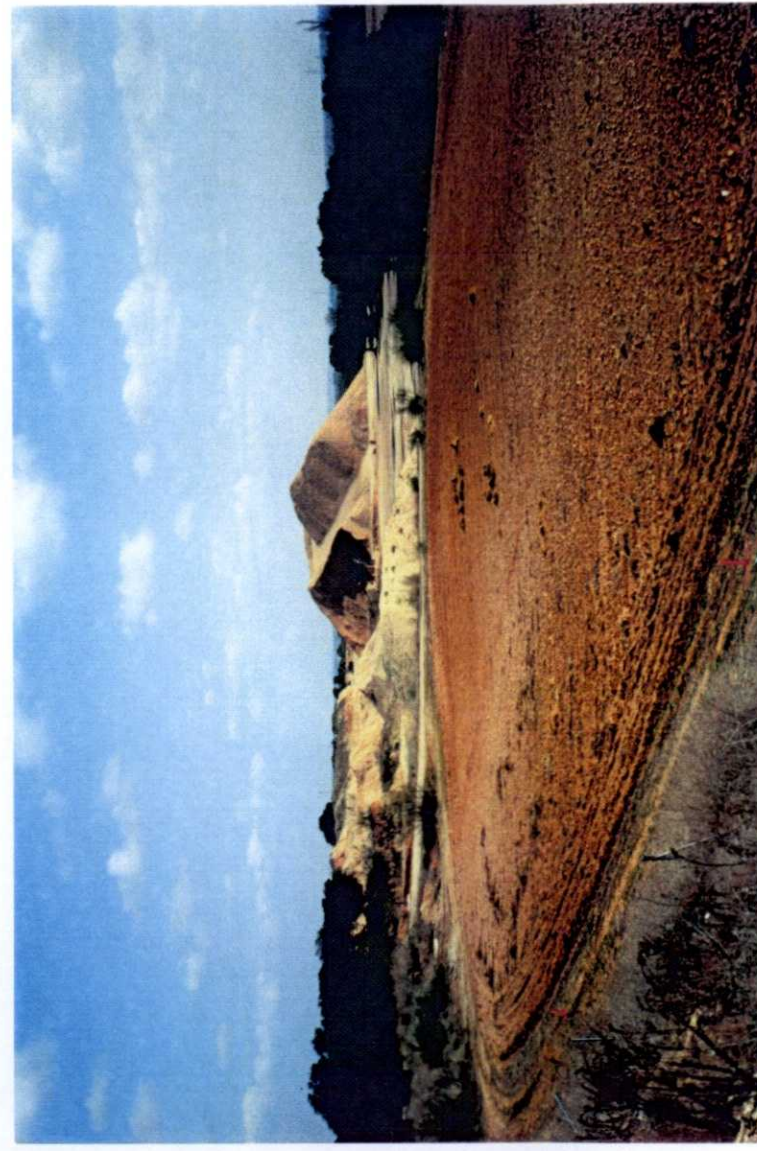
JL-9022-F

Tonalidades blanquecinas que presentan las "facies lacustres" y que destacan en el contexto general de los materiales que componen los abanicos aluviales.



JL-9023-F

De esta manera se presenta en detalle las facies incluidas en la foto anterior.



JL-9024-F

Explotación de áridos naturales en los materiales terciarios al Norte de Lagartera.